

УДК 621.771.63

Л. А. ИСАЕВИЧ, д-р техн. наук,  
М. И. СИДОРЕНКО, канд. техн. наук,  
Д. М. ИВАНИЦКИЙ, канд. техн. наук,  
М. М. МАЛЕКИАН, А. В. МАЗУРЕНКО (БНТУ)

## ОПРЕДЕЛЕНИЕ КРИТИЧЕСКОГО УГЛА ПРИ ПРОДОЛЬНОЙ ПРОКАТКЕ ПОЛОС ПЕРЕМЕННОЙ ТОЛЩИНЫ С НАРАСТАЮЩИМ ОБЖАТИЕМ

Прокатка полос переменной толщины с нарастающим обжатием может осуществляться непрерывным изменением расстояния между двумя вращающимися валками (рис. 1) [1]. Благодаря этому изменяются геометрические размеры очага деформации, в том числе и критический угол.

Получение полос переменной толщины с указанными размерами требует вычисления критического угла на разных участках длины заготовки. Таким образом, знание мгновенного критического угла имеет большое значение не только в теории, но и в практике прокатки.

При выводе формулы для расчета мгновенного значения критического угла при продольной прокатке полосы переменной толщины в приводных валках равного диаметра с нарастающим обжатием рассмотрим схему на рис. 1. Примем, что контактные касательные напряжения по дуге касания постоянны и заданы условием Зибеля

$$\tau_x = f k, \quad (1)$$

где  $k = \frac{1}{\sqrt{3}} \sigma_T$  – пластическая постоянная;  $f$  – средний коэффициент контактного трения металла о валки.

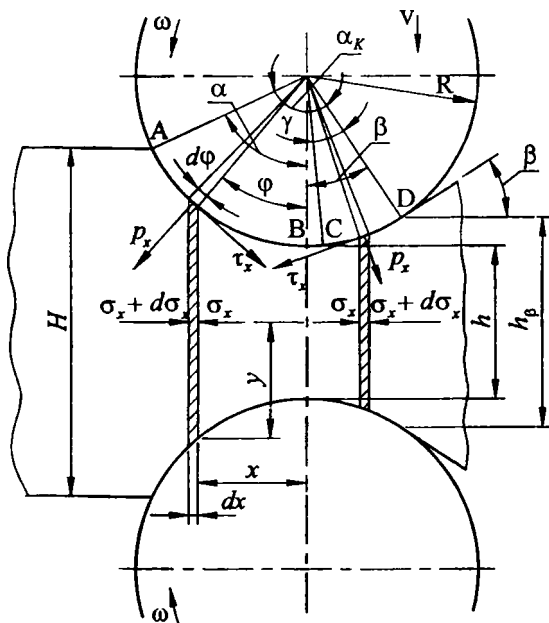


Рис. 1. Схема действия сил в очаге деформации при прокатке с нарастающим обжатием

Дифференциальное уравнение равновесия сил согласно Карману [2]

$$\frac{dp_x}{dx} - \frac{k}{y} \frac{dy}{dx} \pm \frac{\tau_x}{y} = 0, \quad (2)$$

где  $p_x$  – нормальное контактное напряжение по дуге касания металла с валком;  $x$  и  $y$  – текущие ординаты дуги касания.

Знак плюс перед  $\tau_x$  относится к зоне отставания, а знак минус – к зоне опережения.

Если принять, что

$$dx = R \cos \varphi d\varphi; \quad y = 0,5[h + 2R(1 - \cos \varphi)] \quad \text{и} \quad \frac{dy}{dx} = \operatorname{tg} \varphi,$$

то уравнение (2) с учетом выражения (1) можно записать в виде

$$\frac{dp_{\varphi}}{R \cos \varphi d\varphi} - \frac{2k}{h + 2R(1 - \cos \varphi)} (\operatorname{tg} \varphi \mp f) = 0.$$

Отсюда

$$dp_{\varphi} = \frac{2kR}{h + 2R(1 - \cos \varphi)} (\sin \varphi \mp f \cos \varphi) d\varphi, \quad (3)$$

или после подстановки соотношения

$$1 - \cos \varphi = 2 \sin^2 \frac{\varphi}{2}$$

получим

$$dp_{\varphi} = \frac{2k}{\frac{h}{R} + 4 \sin^2 \left( \frac{\varphi}{2} \right)} (\sin \varphi \mp f \cos \varphi) d\varphi. \quad (4)$$

Для участка  $AB$  зоны отставания и участка  $CD$  зоны опережения очага деформации

$$dp_{\varphi} = \frac{2k}{\frac{h}{R} + 4 \sin^2 \left( \frac{\varphi}{2} \right)} (\sin \varphi - f \cos \varphi) d\varphi. \quad (5)$$

Для участка  $BC$  зоны отставания при прокатке с нарастающим обжатием

$$dp_{\varphi} = \frac{2k}{\frac{h}{R} + 4 \sin^2 \left( \frac{\varphi}{2} \right)} (\sin \varphi + f \cos \varphi) d\varphi. \quad (6)$$

После интегрирования уравнений (5) и (6), а также постановки значений  $\sin^2\left(\frac{\varphi}{2}\right) \approx \left(\frac{\varphi}{2}\right)^2$  и  $\operatorname{tg}\left(\frac{\varphi}{2}\right) \approx \frac{\varphi}{2}$  получим:

для участка  $AB$  зоны отставания

$$p_{\varphi} = k \ln\left(\frac{h}{R} + \varphi^2\right) - \frac{2kf\left(1 + 2\frac{R}{h}\right)}{\sqrt{1 + 4\frac{R}{h}}} \operatorname{arctg}\left(\frac{\varphi}{2}\sqrt{1 + 4\frac{R}{h}}\right) + kf\varphi + c_{\sigma T_1}; \quad (7)$$

для участка  $CD$  зоны опережения

$$p_{\varphi} = k \ln\left(\frac{h}{R} + \varphi^2\right) + kf\varphi - \frac{2kf\left(1 + 2\frac{R}{h}\right)}{\sqrt{1 + 4\frac{R}{h}}} \operatorname{arctg}\left(\frac{\varphi}{2}\sqrt{1 + 4\frac{R}{h}}\right) + c_{\sigma O_1}; \quad (8)$$

для участка  $BC$  зоны отставания

$$p_{\varphi} = k \ln\left(\frac{h}{R} + \varphi^2\right) - kf\varphi + \frac{2kf\left(1 + 2\frac{R}{h}\right)}{\sqrt{1 + 4\frac{R}{h}}} \operatorname{arctg}\left(\frac{\varphi}{2}\sqrt{1 + 4\frac{R}{h}}\right) + c_{\sigma T_2}. \quad (9)$$

Постоянные интегрирования  $c_{\sigma T_1}$  и  $c_{\sigma O_1}$  определяем из граничных условий, рассматривая процесс прокатки без натяжения полосы.

В точке  $A$  при  $\varphi = \alpha_K - \beta$  получим  $p_{\varphi} = 2k$ , а в точке  $D$  при  $\varphi = \beta$  тоже  $p_{\varphi} = 2k$ .

Подставив данные значения  $p_{\varphi}$  и  $\varphi$  в уравнения (7) и (8), запишем:

$$c_{\sigma T_1} = k \left\{ 2 - \ln\left(\frac{h}{R} + \alpha^2\right) + \frac{2f\left(1 + 2\frac{R}{h}\right)}{\sqrt{1 + 4\frac{R}{h}}} \operatorname{arctg}\left(\frac{\alpha}{2}\sqrt{1 + 4\frac{R}{h}}\right) - f\alpha \right\};$$

$$c_{оп1} = k \left\{ 2 - \ln \left( \frac{h}{R} + \beta^2 \right) + \frac{2f \left( 1 + 2 \frac{R}{h} \right)}{\sqrt{1 + 4 \frac{R}{h}}} \operatorname{arctg} \left( \frac{\beta}{2} \sqrt{1 + 4 \frac{R}{h}} \right) - f \beta \right\}.$$

После подстановки из последних выражений постоянных интегрирования  $c_{от1}$  и  $c_{оп1}$  в (7) и (8) получим уравнения для определения распределения нормальных контактных напряжений по дуге касания:

в зоне отставания на участке  $AB$

$$p_{\varphi} = k \left\{ 2 + \frac{2f \left( 1 + 2 \frac{R}{h} \right)}{\sqrt{1 + 4 \frac{R}{h}}} \operatorname{arctg} \left[ \frac{\frac{1}{2} \sqrt{1 + 4 \frac{R}{h}} (\alpha - \varphi)}{1 + \frac{\alpha \varphi}{4} \left( 1 + 4 \frac{R}{h} \right)} \right] - \ln \left( \frac{\frac{h}{R} + \alpha^2}{\frac{h}{R} + \varphi^2} \right) + f (\varphi - \alpha) \right\}; (10)$$

в зоне опережения на участке  $CD$

$$p_{\varphi} = k \left\{ 2 + \frac{2f \left( 1 + 2 \frac{R}{h} \right)}{\sqrt{1 + 4 \frac{R}{h}}} \operatorname{arctg} \left[ \frac{\frac{1}{2} \sqrt{1 + 4 \frac{R}{h}} (\beta - \varphi)}{1 + \left( 1 + 4 \frac{R}{h} \right) \frac{\beta \varphi}{4}} \right] - \ln \left( \frac{\frac{h}{R} + \beta^2}{\frac{h}{R} + \varphi^2} \right) + f (\varphi - \beta) \right\}; (11)$$

где  $\beta$  – центральный угол, определяющий положение сечения выхода раската из валков (угол клиновидности), рад.

Решая для точки  $B$  (при  $\varphi = 0$ ) совместно уравнения (9) и (10), определяем постоянную интегрирования  $c_{от2}$ :

$$c_{от2} = k \left\{ 2 + \frac{2f \left( 1 + 2 \frac{R}{h} \right)}{\sqrt{1 + 4 \frac{R}{h}}} \operatorname{arctg} \left( \frac{\alpha}{2} \sqrt{1 + 4 \frac{R}{h}} \right) - \ln \left( \frac{h}{R} + \alpha^2 \right) - f \alpha \right\}.$$

Тогда уравнение (9) для определения нормального контактного напряжения в зоне отставания на участке  $BC$  можно записать в следующем виде:

$$p_{\varphi} = k \left\{ 2 + \frac{2f \left( 1 + 2 \frac{R}{h} \right)}{\sqrt{1 + 4 \frac{R}{h}}} \operatorname{arctg} \left[ \frac{\frac{1}{2} \sqrt{1 + 4 \frac{R}{h}} (\varphi + \alpha)}{1 - \frac{\varphi \alpha}{4} \left( 1 + 4 \frac{R}{h} \right)} \right] - \ln \left( \frac{\frac{h}{R} + \alpha^2}{\frac{h}{R} + \varphi^2} \right) - f(\varphi + \alpha) \right\}. \quad (12)$$

Если сечение будет расположено слева от плоскости осей валов, то для участка  $CB$ , в данном случае находящегося в зоне опережения, дифференциальное уравнение прокатки (6) остается без изменения.

После интегрирования уравнения (6) запишем

$$p_{\varphi} = k \ln \left( \frac{h}{R} + \varphi^2 \right) - k f \varphi + \frac{2k f \left( 1 + 2 \frac{R}{h} \right)}{\sqrt{1 + 4 \frac{R}{h}}} \operatorname{arctg} \left( \frac{\varphi}{2} \sqrt{1 + 4 \frac{R}{h}} \right) + c_{\text{оп}2}. \quad (13)$$

Постоянную интегрирования  $c_{\text{оп}2}$  определяем после совместного решения уравнений (11) и (13) для точки  $B$  при  $\varphi = 0$ . В этом случае

$$c_{\text{оп}2} = k \left\{ 2 + \frac{2f \left( 1 + 2 \frac{R}{h} \right)}{\sqrt{1 + 4 \frac{R}{h}}} \operatorname{arctg} \left( \frac{1}{2} \sqrt{1 + 4 \frac{R}{h}} \beta \right) - \ln \left( \frac{h}{R} + \beta^2 \right) - f \beta \right\}.$$

После подстановки значения  $c_{\text{оп}2}$  в (13) получим уравнение для определения нормального контактного напряжения по дуге касания в зоне опережения на участке  $CB$

$$p_{\varphi} = k \left\{ 2 + \frac{2f \left( 1 + 2 \frac{R}{h} \right)}{\sqrt{1 + 4 \frac{R}{h}}} \operatorname{arctg} \left[ \frac{\frac{1}{2} \sqrt{1 + 4 \frac{R}{h}} (\beta + \varphi)}{1 - \frac{\beta \varphi}{4} \left( 1 + 4 \frac{R}{h} \right)} \right] - \ln \left( \frac{\frac{h}{R} + \beta^2}{\frac{h}{R} + \varphi^2} \right) - f(\beta + \varphi) \right\}. \quad (14)$$

Мгновенный угол критического сечения, определяющий границу раздела между зоной опережения и зоной отставания, можно найти из условия, что в критическом сечении

$$P_{оп\gamma} = P_{от\gamma}.$$

Тогда из совместного решения уравнений (10) и (14) при  $\varphi = \gamma - \beta$  или уравнений (11) и (12) при  $\varphi = \beta - \gamma$  в зависимости от положения критического сечения относительно плоскости осей валков, после подстановки значений  $\operatorname{tg}\left(\frac{\varphi A}{2B}\right) \approx \frac{\varphi A}{2B}$ ;  $\left(\frac{\varphi}{2} A\right)^2 \frac{\operatorname{tg} C}{B} \approx 0$ , где, в свою очередь:

$$A = \sqrt{1 + 4\frac{R}{h}}; B = \left(1 + 2\frac{R}{h}\right); C = \frac{A}{4fB} \ln \left( \frac{\frac{h}{R} + \beta^2}{\frac{h}{R} + \alpha^2} \right) + 0,5 \left[ \operatorname{arctg}\left(\frac{\alpha}{2} A\right) - \operatorname{arctg}\left(\frac{\beta}{2} A\right) \right] + \frac{A}{4B} (\beta - \alpha),$$

получим уравнение

$$\gamma = \frac{1 + 2\frac{R}{h}}{\frac{R}{h} \sqrt{1 + 4\frac{R}{h}}} \operatorname{tg} \left\{ \frac{\sqrt{1 + 4\frac{R}{h}}}{4f \left(1 + 2\frac{R}{h}\right)} \ln \left( \frac{\frac{h}{R} + \beta^2}{\frac{h}{R} + \alpha^2} \right) \right\} + 0,5 \left[ \operatorname{arctg}\left(\frac{\alpha}{2} \sqrt{1 + 4\frac{R}{h}}\right) - \operatorname{arctg}\left(\frac{\beta}{2} \sqrt{1 + 4\frac{R}{h}}\right) \right] + \frac{\sqrt{1 + 4\frac{R}{h}}}{4 \left(1 + 2\frac{R}{h}\right)} (\beta - \alpha) + \beta. \quad (15)$$

Ограничиваясь первыми членами разложения функций  $\operatorname{tg}$ ,  $\operatorname{arctg}$  и  $\ln$  в ряд, из уравнения (15) получаем упрощенное выражение

$$\gamma = \frac{\alpha_K}{2} \left( 1 - \frac{\alpha_K}{2f} + \frac{\beta}{f} \right). \quad (16)$$

По полученным формулам (15) и (16) построены графики, представленные на рис. 2. Кроме того, при построении этих графиков использованы данные [3]. Из представленных графических зависимостей следует, что для разных углов  $\beta$  и коэффициентов контактного трения  $f$  при заданном отношении  $R/h = 10$  с ростом угла контакта  $\alpha_K$  значения критического угла  $\gamma$  вначале возрастают, а затем уменьшаются. Такие же зависимости имеют место и при продольной прокатке полос постоянной толщины [2]. Для различных коэффициентов контактного трения формула (15) и данные [3] дают близкие результаты. Однако при величине коэффициента контактного трения, равной 0,5, и больших значениях угла контакта валков с металлом  $\alpha_K$  наблюдается некоторое несоответствие между графиками, построенными по формулам (15), (16) и по данным [3].

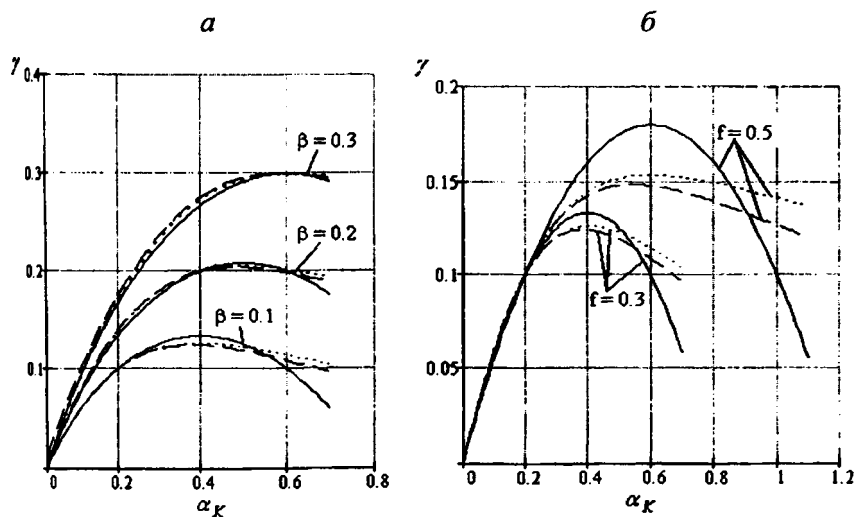


Рис. 2. Изменение мгновенного критического угла при прокатке с нарастающим обжатием в зависимости: а – от угла касания  $\alpha_K$  и угла  $\beta$ , определяющего положение сечения выхода при коэффициенте трения  $f = 0,3$  и  $R/h = 10$ ; б – от угла касания  $\alpha_K$  и коэффициента трения  $f$  при  $R/h = 10$  и  $\beta = 0,1$  по формулам (15) (----), (16) (—) и по данным [3] (.....)

Таким образом, использовать приближенную формулу (16) целесообразно в случае небольших значений коэффициента контактного трения.

#### ЛИТЕРАТУРА

1. Данилов, В. Д. Опережение при прокатке профилей переменного сечения / В. Д. Данилов // Известия вузов. Черная металлургия. – 1974. – № 1. – С. 82–86.
2. Теория продольной прокатки / А. И. Целиков [и др.]. – М.: Металлургия, 1980. – 319 с.
3. Данилов, В. Д. Критический угол при продольной прокатке профилей переменного сечения в приводных валах равного диаметра / В. Д. Данилов // Известия вузов. Черная металлургия. – 1974. – № 8. – С. 43–46.

УДК 620. 4539.37

И. В. КАЧАНОВ, д-р техн. наук, В. Н. ШАРИЙ (БНТУ)

### РЕГИСТРАЦИЯ КИНЕМАТИЧЕСКИХ ПАРАМЕТРОВ ПРОЦЕССА УДАРНОГО ВЫДАВЛИВАНИЯ СТЕРЖНЕВЫХ ИЗДЕЛИЙ С ПЛАКИРОВАНИЕМ ТОРЦА

Технология ударного выдавливания стержневых изделий с плакированием торца является новой и заключается в получении стержневых изделий (пуансонов, выталкивателей, прошивней, фрез, электродов, долбяков и т. д.) методом выдавливания металлов в конических матрицах со сваркой основы и плакирующего слоя на конечной стадии процесса за счет пластического истечения металлов в радиальную полость матрицы [1]. Высокая эффективность технологии обусловлена значительной экономией высоколегированных инструментальных сталей (до 95 %), а также возможностью обработки малопластичных и труднодеформируемых материалов с одновременным формированием в изделиях комплекса повышенных физико-механических и эксплуатационных свойств.

При ударном выдавливании наблюдается снижение сил контактного трения, улучшение теплового баланса и, как следствие, повышение пластичности деформируемого металла. Изделия, полученные в результате обработки таким методом, имеют плотную во-